

(HUANJING KEXUE)

ENVIRONMENTAL SCIENCE

第38卷 第12期

Vol.38 No.12

2017

中国科学院生态环境研究中心 主办

科学出版社出版



ENVIRONMENTAL SCIENCE

第38卷 第12期 2017年12月15日

目 次(卷终)

```
京津冀区域 PM<sub>2.5</sub>污染相互输送特征 ································· 王燕丽,薛文博,雷宇,王金南,武卫玲(4897)
顾及尺度效应的多源遥感数据"源""汇"景观的大气霾效应 "凯,余添添,孙姣姣,袁兆祥,秦昆(4905)基于多源数据的 PM, %浓度时空分布预测与制图 ""首璐,郎艺超,夏浪,楼昭涵,孙楠,黄李童,George Christakos (4913)华东区域 PM, 3变化背景下浙江省人口经济暴露水平评估 "郁珍艳,高大伟,李正泉,杨续超,王阔,马浩,徐宏辉(4924)南京北郊不同大气污染程度下气溶胶化学组分特征 "称珍艳,
基地硅肥对土壤输生物有效性及水稻输系积效应的影响 高子翔,周航,杨文弢,辜娇峰,陈立伟,杜文琪,徐珺,廖柏寒(5299)水稻对气态单质汞的吸收与挥发 尚帅,田珮,蒋煜,武婧轩,姜珊,邓泓(5308)麦田 O₃ 浓度的长期变化及其对冬小麦干物质和产量损失的估算 赵辉,郑有飞,李硕,徐静馨,曹嘉晨,魏莉,关清(5315)缓控释肥侧深施对稻田氨挥发排放的控制效果 侯朋福,薛利祥,俞映倞,薛利红,范立慧,杨林章(5326)生物炭和有机肥对华北农田盐碱土N₂O排放的影响 石玉龙,对杏认,高佩玲,张晴雯,张爱平,杨正礼(5333)成都平原不同类刑沟混 CO CH 和N O排放通量特征及甘影响因素
《环境科学》征订启事(5031) 信息(4923,5105,5161)
《环境科学》征稿简则(4950)
```

2015 年中国近地面臭氧浓度特征分析

段晓瞳,曹念文*,王潇,张玉欣,梁静舒,杨思鹏,宋秀瑜

(南京信息工程大学, 气象灾害教育部重点实验室, 气候与环境变化国际合作联合实验室, 气象灾害预报预警与评估协同创新中心, 中国气象局气溶胶与云降水重点开放实验室, 南京 210044)

摘要:根据 2015 年全国 189 个城市的近地面臭氧浓度数据,使用 ArcGIS 等软件处理,从不同时空、地形特征、温度等方面分析得出中国近地面臭氧浓度的变化特征. 2015 年中国近地面的臭氧浓度变化呈先增高后降低的趋势,各季节中浓度大小关系呈夏季 > 秋季 > 春季 > 冬季的变化规律,且在 7 月达到全年最高值.中国各行政区中,华东、华南、华北地区的臭氧污染较为严重.在经纬度变化的影响方面,经度变化对近地面臭氧浓度的影响不大,而纬度变化使臭氧浓度变化明显;在同一纬度的 3 种不同地形对比中发现,不同的地形给近地面臭氧浓度带来的影响微乎其微. 温度和近地面臭氧浓度的变化呈现良好的正相关关系.

关键词:臭氧浓度;变化特征;相关性;时空变化;地形;温度

中图分类号: X511 文献标识码: A 文章编号: 0250-3301(2017)12-4976-07 DOI: 10.13227/j. hjkx. 201703045

Characteristics Analysis of the Surface Ozone Concentration of China in 2015

DUAN Xiao-tong, CAO Nian-wen * , WANG Xiao, ZHANG Yu-xin, LIANG Jing-shu, YANG Si-peng, SONG Xiu-yu

(Key Laboratory of Meteorological Disaster, Ministry of Education, Joint International Research Laboratory of Climate and Environment Change, Collaborative Innovation Center on Forecast and Evaluation of Meteorological Disasters, Key Laboratory for Aerosol-Cloud-Precipitation of China Meteorological Administration, Nanjing University of Information Science and Technology, Nanjing 210044, China)

Abstract: Surface ozone concentration data from 189 cities in China in 2015 were processed by ArcGIS software in order to obtain the characteristics of the surface ozone concentration, such as time and space, topographical features, temperature, etc. The trend for surface ozone concentration was a decrease followed by an increase in China in 2015. The concentrations during the four seasons followed the order; summer > autumn > spring > winter, and the maximum appeared in July. The ozone pollution of East China, South China, and North China were more serious than other regions in China. The variation of longitude had a small influence on the ozone concentration, while the influence of latitude is significant. According to the analysis contrasting three different topographies in the same latitude, the influence of topography on ozone concentration was negligible. Furthermore, the research found a significant positive correlation between surface ozone concentration and temperature.

Key words; ozone concentration; variation in characteristics; correlation; temporal and spatial variation; topography; temperature

从 20 世纪开始,臭氧(O₃)浓度不断增加,如今已经成为城市低层大气重要的污染物之一。在过去的 10 年间,全球臭氧浓度都呈现出上升趋势^[1,2]。2009~2010年,有学者在研究中发现意大利南部^[3]、日本沿海^[4]以及印度南部^[5]均出现了周末臭氧浓度增高现象。中国各地 O₃ 污染现象也频频发生,中国的中、南部特别是沿海城市尤为突出^[6~9],比如:在 2011年的深圳大运会期间^[10],2012年的北京及周边地区^[11],2013年的嘉兴^[12]以及同年夏季的长江三角洲^[13]等地区均发生了不同程度的臭氧污染事件。由于 O₃ 可增加大气的氧化性,促进大气中 SO₂、NO₂、VOCs 的氧化和气粒转化为颗粒物的过程,进而增强 PM_{2.5}等颗粒物污染,同时高浓度的地面 O₃ 也会增加城市光化学烟雾发

生的频率[14~16].

随着城市的迅速发展,机动车数量急剧增加,城市空气中 O_3 浓度也在急剧增加,据 2015 年环境公报显示 $[^{17}]:O_3$ 日最大 8h 平均值第 90 百分位数浓度范围为 $62\sim203~\mu g\cdot m^{-3}$,平均为 $134~\mu g\cdot m^{-3}$,日均值超标天数占监测天数的比例为 4.6%. 在所有未达标的城市中,以细颗粒物 $(PM_{2.5})$ 、 O_3 和可吸入颗粒物 (PM_{10}) 为首要污染物的居多,其中 O_3 污染占超标天数的 16.9%. 2015 年,74 个新标准第一阶段实施城市 (包括京津冀、长三角、珠三角

收稿日期: 2017-03-06; 修订日期: 2017-06-20

基金项目: 国家自然科学基金项目(41375044/D0503,41175033/D0503);公益性行业科研专项(GYHY201006047-5)作者简介: 段晓瞳(1990~),女,硕士研究生,主要研究方向为激

光大气探测, E-mail;m13770859716@163.com * 通信作者,E-mail;nwcao@nuist.edu.cn 等重点区域地级城市及直辖市/省会城市和计划单列市)监测结果显示, O_3 日最大 8 h 平均值第 90 百分位数浓度范围为 95 ~ 203 $\mu g \cdot m^{-3}$,平均为 150 $\mu g \cdot m^{-3}$,比 2014 年上升 3.4%;达标城市比例比 2014 年下降 5.4 个百分点. 其中长江三角洲地区最为严重,25 个地级以上城市中有 16 个城市超标; O_3 日最大 8 h 平均值第 90 百分位数浓度为 163 $\mu g \cdot m^{-3}$,比 2014 年上升 5.8 个百分点.

从以上数据来看,我国 O_3 污染情况已经日趋严重,且 O_3 浓度上升可能引发光化学污染和 $PM_{2.5}$ 等颗粒物污染.为了解 O_3 浓度的月变化情况,本文利用 2015 年全国 189 个城市的 O_3 资料从全国月平均浓度和部分地形主要城市月平均浓度变化两方面来分析全国的 O_3 污染水平,结合时间变化和空间变化分析 O_3 的浓度变化特点.

1 材料与方法

1.1 材料

本文收集整理了中国 2015 年 189 个重点城市的小时 0₃ 浓度的日平均数据,此数据来源于空气质量分析平台、中国环保部及中国环境监测总站,本文通过使用网站公开发布的 0₃ 浓度历史数据(0₃ 浓度的日平均数据经过网站处理之后公布)进行分析研究,在以该数据的真实可靠为前提的条件下,对我国 2015 年的 0₃ 浓度进行了分析.

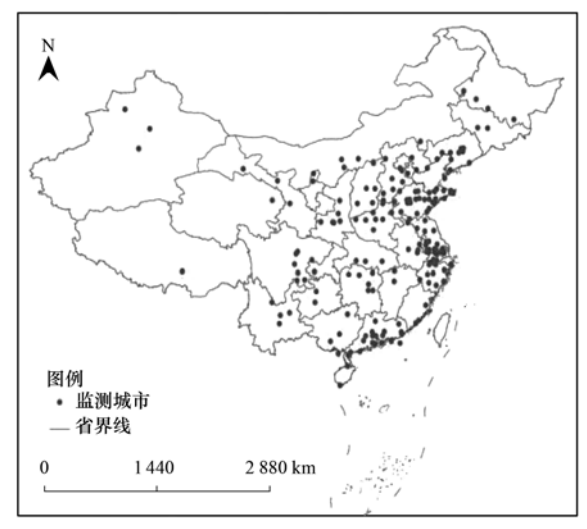
此外,本文还收集整理了青藏高原,四川盆地,长江中下游平原部分重点城市的 2015 年的月平均温度,此数据来源于中国天气网.

图 1 为 189 个城市的分布情况,从城市的分布可以看出,监测城市大多分布在东部地区,西部的监测点很少,台湾地区和南海地区的监测情况暂未获得.

1.2 方法

根据收集到的 2015 年的 189 个城市的逐日 O_3 浓度, 计算出 O_3 浓度月均值, 通过在反距离权重插值法即公式(1)对 O_3 浓度月均值进行空间插值分析:

$$Z_{0} = \frac{\sum_{i=1}^{n} Z_{i}/d_{i}^{r}}{\sum_{i=1}^{n} 1/d_{i}^{r}}$$
(1)



台湾地区和南海地区的监测情况暂未获得,下同

图 1 全国监测城市分布情况

Fig. 1 Distribution of sampling sites in China

式中, Z_0 为插值点 O 的估计值; Z_i 为监测点 i 处的 O_3 浓度值; d_i 为监测点 i 与插值点 O 之间的距离;n 为插值过程中用到的控制点数目;r 为指定的幂数 [18]. 处理过程中使用 AreGIS10.2 的默认幂数值2,通过以上处理之后的数据能够直观地表现出2015 年全国 O_3 浓度随时间空间的变化规律.

为更加细致地研究 O₃ 浓度随空间的变化情况,本文从 189 个城市中筛选出同一纬度不同经度的 3 个城市以及同一经度不同纬度的 3 个城市以绘制曲线图的形式进行对比分析.

此外,本文筛选出一定纬度区域内 $(27^{\circ} \sim 33^{\circ}$ N)的 3 种不同地形,对 3 种地形下不同城市的 O_3 浓度和温度数据的平均处理,通过绘制 O_3 浓度-温度曲线图和计算相关性方程式的形式进行对比,分析影响 O_3 浓度变化的原因及规律.

2 O, 浓度分布概况

从收集到的数据中经过处理得出,2015 年全国最大 O_3 浓度出现在 8 月的山东省的平度市,最大值为 300 μ g·m⁻³,最小 O_3 浓度出现在 1 月新疆维吾尔自治区的乌鲁木齐市,最小值为 10 μ g·m⁻³,全国 2015 年的 O_3 浓度 平均值为 121.5 μ g·m⁻³(表1).由于我国环境空气质量标准^[19]中

表 1 全国 O_3 浓度年均值统计特征 $^{1)}$

Table 1 Descriptive statistics of the yearly average concentration of O₃ in China

最大值		最小值		双 <i>协体</i> / -3
数值/µg⋅m ⁻³	时间地点	数值/µg⋅m ⁻³	时间地点	平均值/µg·m ⁻³
300	8月 山东 平度	10	1月 新疆 乌鲁木齐	121. 5

环境空气污染物基本项目的浓度限值关于 O₃ 的平均时间只有日最大 8 h 平均和 1 h 平均,没有全年的平均值,故此处所得全年的平均值浓度无法判断是否达到国家环境空气质量一级标准或是二级标准,只能根据日最大 8 h 浓度来判断臭氧含量的高低与否.

3 O₃ 浓度变化特征

 O_3 是光化学二次污染物,对流层 O_3 的主要来源是平流层输入和对流层光化学反应,主要汇是干沉降和化学反应耗损 $[^{20}]$,近地面 O_3 则与太阳辐射和气象因素有密切关系 $[^{13}]$.通过观测及分析,近地

面 O₃ 存在时间和空间的变化规律, 随季节、地区、 地形的变化而呈现不同的变化规律^[21-26].

3.1 时空分布特征

图 2 为 2015 年全国 O_3 浓度变化,从中可知,全国大部分地区全年 O_3 浓度随时间的变化趋势为先增高后降低. $1 \sim 2$ 月 O_3 浓度基本处于 80 $\mu g \cdot m^{-3}$ 以下,从 3 月开始 O_3 浓度大范围升高. 到 6 月时,除华南地区外其他地区 O_3 浓度已达到 120 $\mu g \cdot m^{-3}$ 以上. 大部分地区 7 月 O_3 浓度达到最高值,其中京津冀、长三角以及沿海地区 O_3 浓度最高,可达 260 ~ 280 $\mu g \cdot m^{-3}$. 8 月大部分地区 O_3 浓度则

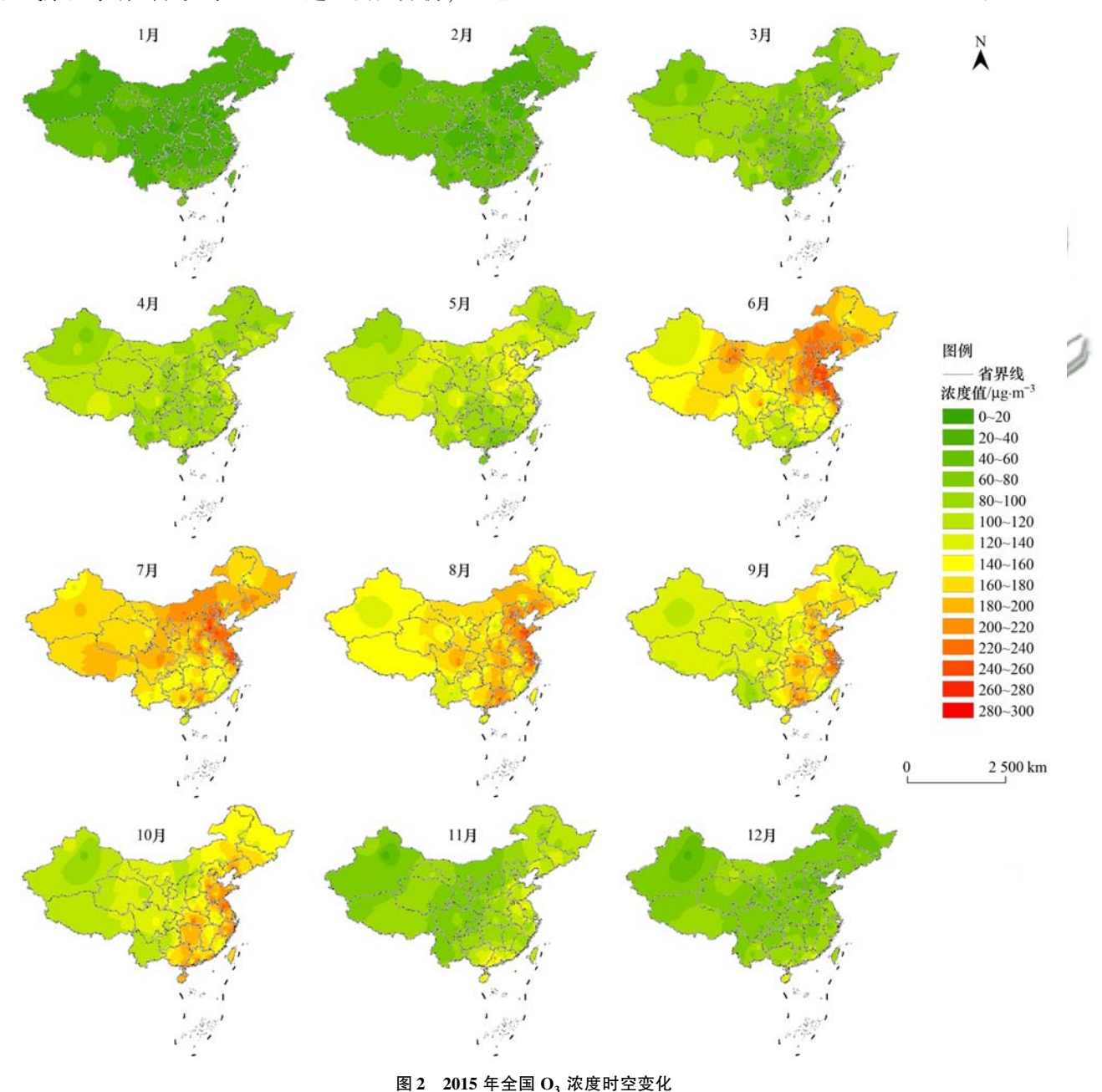


Fig. 2 Temporal and spatial variation of the concentration of O₃ in China, 2015

下降不明显,甚至部分地区有升高迹象(如山东省平度市的 O_3 浓度达到 $300~\mu g \cdot m^{-3}$). $9 \sim 10~$ 月,在其他地区 O_3 浓度迅速下降时,东部沿海和华南地区的臭氧浓度基本处于 $180 \sim 260~\mu g \cdot m^{-3}$ 之间. 到 11~ 月全国所有城市 O_3 浓度大幅度下降,到 12~ 月时全国的 O_3 浓度值已基本低于 $100~\mu g \cdot m^{-3}$. 也就是说我国大部分地区 O_3 随时间的变化规律为单峰型:在 1~ 月时达到 O_3 浓度的最低值(本月全国臭氧浓度平均值为 $180.58~\mu g \cdot m^{-3}$).

本文将 2015 年全年数据划分为 4 个季节, 12 月 ~次年 2 月为冬季, 3 ~5 月为春季, 6 ~8 月为夏季, 9 ~11 月为秋季. 图 2 表明:我国 O_3 浓度的季节变化规律为:夏季 > 秋季 > 春季 > 冬季. 冬季 O_3 浓度最低,基本维持在 O_3 一个,平均浓度为 52. 28 $\mu g \cdot m^{-3}$;春季逐渐有升高趋势,平均浓度为 52. 28 $\mu g \cdot m^{-3}$;夏季 O_3 浓度值达到最高,全国大片区域处于 200 ~ 300 $\mu g \cdot m^{-3}$ 的 O_3 浓度下,平均浓度为 185. 68 $\mu g \cdot m^{-3}$;秋季 O_3 浓度在大部分地区逐渐减小直到冬季达到最低值.

我国日照时间随时间变化规律为在冬至时,日照时间最短,随着时间变化日照时间逐渐增长,在夏至时达到全年日照时间的最大值,夏至过后,日照时间再逐渐减短^[27].由于 0₃ 的形成与太阳辐射、高温等气象因素有关,而夏季的高 0₃ 浓度主要是强太阳辐射、高温等有利的气象条件造成的,在冬季辐射强度、温度等均降低,大气活性逐渐减弱,由于 0₃ 属于大气二次污染物,在此种条件下浓度相应降低^[13,28].

我国位于北半球,由北向南纬度逐渐递减,最北端在漠河以北,黑龙江主航道中心线上,可达北纬53°,最南端在南沙群岛中的曾母暗沙上,在北纬4°附近.最东端位于东经135°黑龙江和乌苏里江交汇处,最西端位于东经73°的帕米尔高原乌兹别里山口(乌恰县)上^[29].为了对比我国经度和纬度与0₃浓度变化的关系,本文分别选取了同一经度(109°E)附近不同纬度的3个城市(三亚18°N;柳州23°N;包头40°N),和同一纬度(40°N)附近不同经度的3个城市(库尔勒86°E;包头109°E;丹东124°E)做了分析比较.

图 3 为同一经度上不同纬度的 O₃ 浓度对比,可以很清楚地看出,O₃ 浓度的变化随纬度变化非常明显,随着纬度的升高,O₃ 的月平均浓度变化图

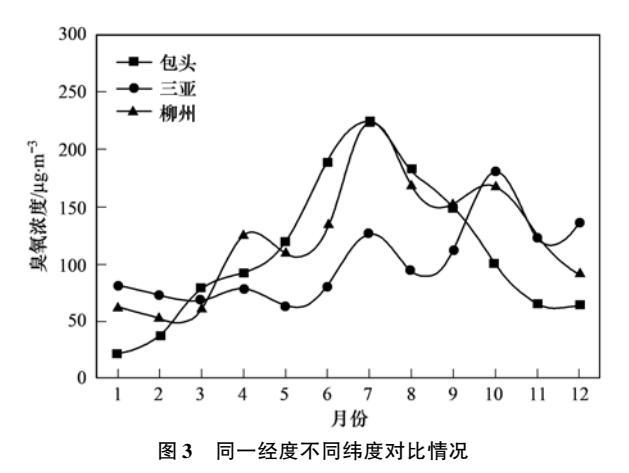


Fig. 3 Correlation of the three different latitude areas at the same longitude

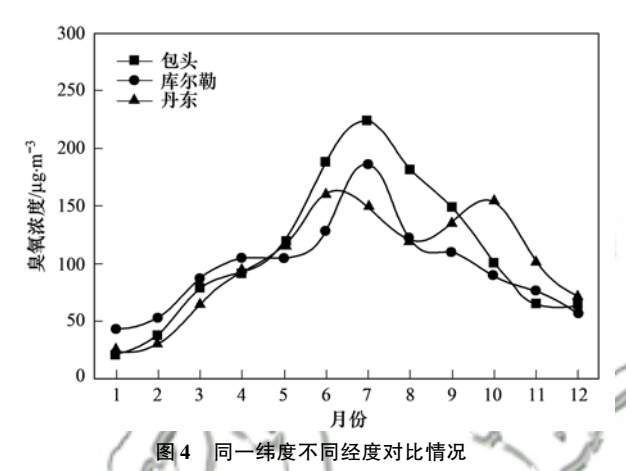


Fig. 4 Correlation of the three different longitudeareas at the same latitude

由多峰结构逐渐发生变化,最后变为单峰结构. 从中可以看出,位于最低纬度的三亚表现出了 3 个峰,分别出现在 4、7 和 10 月,在 10 月达到最高值 181 $\mu g \cdot m^{-3}$;处于中间纬度的柳州虽然也表现为三峰结构,但最高值则出现在最为突出的 7 月主峰上,此时 0_3 浓度值高达 224 $\mu g \cdot m^{-3}$;而位于相对纬度较高的包头呈现出了明显的单峰结构,表现为全年 0_3 浓度先增加,在 7 月达到全年 0_3 浓度的最高值 224 $\mu g \cdot m^{-3}$,再逐渐减少. 综上所示,这些现象说明不同纬度对 0_3 的变化有很大的影响,且纬度越高, 0_3 浓度的单峰结构越明显,且会在 7 月时达到臭氧浓度的最高值.

根据资料显示^[27],我国的光照随纬度的变化规律为秋分以后,次年的春分以前,由于太阳直射点在南半球,所以随着纬度的升高,日照时间逐渐变长.由于 O₃ 的形成与光照有关,而图 3 中显示的 O₃ 浓度的变化规律与我国光照时间随纬度变化的规律正好相符合.

图 4 为同一纬度上不同经度的对比,包头和库尔勒地区的 O_3 浓度变化趋势基本相同,均表现为单峰结构,峰值均出现在 7 月(包头峰值为 224 $\mu g \cdot m^{-3}$, 库尔勒峰值为 187 $\mu g \cdot m^{-3}$). 而丹东地区则与两者不同,其 O_3 浓度变化呈双峰结构,峰值分别出现在 6 月(160 $\mu g \cdot m^{-3}$)和 10 月(154 $\mu g \cdot m^{-3}$),但浓度不高,根据天气网气象资料[30]显示,丹东在 2015 年 7 ~ 9 月期间有连绵阴雨天气,尤其在 8 月更有暴雨天气情况发生,在此种情况下,太阳辐射时间和辐射强度均降低,造成形成 O_3 的途径受阻,致使 O_3 浓度降低,到 10 月天气转好,太阳辐射增多, O_3 浓度降低,到 10 月天气转好,太阳辐射增多, O_3 浓度的影响要远大于经度对 O_3 浓度带来的影响.

综合图 3 和图 4 的分析得出: O₃ 浓度的变化趋势与纬度的变化关系为, 纬度越高, O₃ 浓度的单峰结构表现得越明显; 而与经度的相关性不大.

3.2 地形分布特征

由于中国地貌多样,因此本文选取了 27°~33°N 范围内不同地形(高原、盆地和平原)的 0,均值进行对比分析.我国是一个西高东低的多级地势国家,自西向东程阶梯状分布,其中青藏高原平均海拔在4000 m以上,四川盆地平均海拔在650~750m之间,长江中下游平原海拔多在50 m以下^[29].

如图 5 所示,不同地形的 O₃ 浓度变化呈现出不同的变化趋势, O₃ 浓度值的大小也存在差异. 从中可以看出,除 8、9、10 月外,青藏高原的 O₃ 浓度值普遍高于四川盆地和长江中下游平原,而四川盆地和长江中下游平原的浓度值变化趋势则相差不多;在 7 月 3 种地形 O₃ 浓度从数值上看差别很小(青藏高原平均浓度为 191 μg·m⁻³,四川盆地为 186 μg·m⁻³,长江中下游平原为 183 μg·m⁻³),从图形上

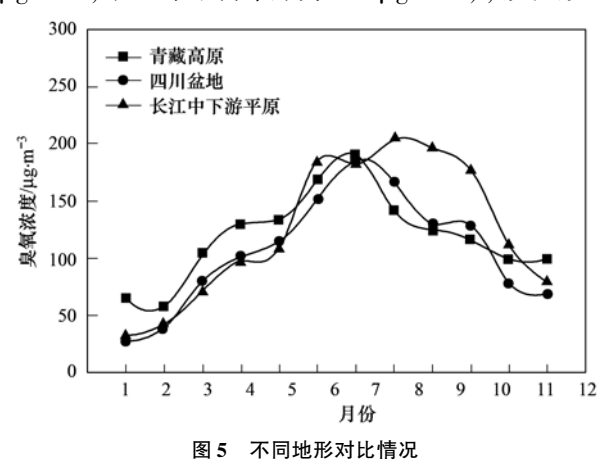


Fig. 5 Correlation of the different land features

看基本重合;在8月长江中下游平原出现 O_3 浓度峰值(205 $\mu g \cdot m^{-3}$),同时四川盆地地区也在这段时间内浓度值高于青藏高原地区,这可能是温度等气象因子的影响,此讨论将在下一小节中具体分析.

通过上文分析,虽然地形的变化和海拔高度的不同会对 O_3 浓度的变化产生一定的影响,但是影响并不是非常明显,和其他影响因子比起来可以忽略不计.

3.3 温度变化特征

在近地面层,臭氧的转化容易受到近地面层气象条件的影响,温度是其中的主要影响因子之 __[31-33]

如图 6 所示,对 3 种不同的地形做了 O_3 浓度和温度之间的对比分析,发现无论是在哪种地形, O_3 浓度都会随温度的升高而增加.其中,图 O_3 次度与温度的相关性对比,从中可知, O_3 和温度都在 7 月时达到最大值,其相关性方

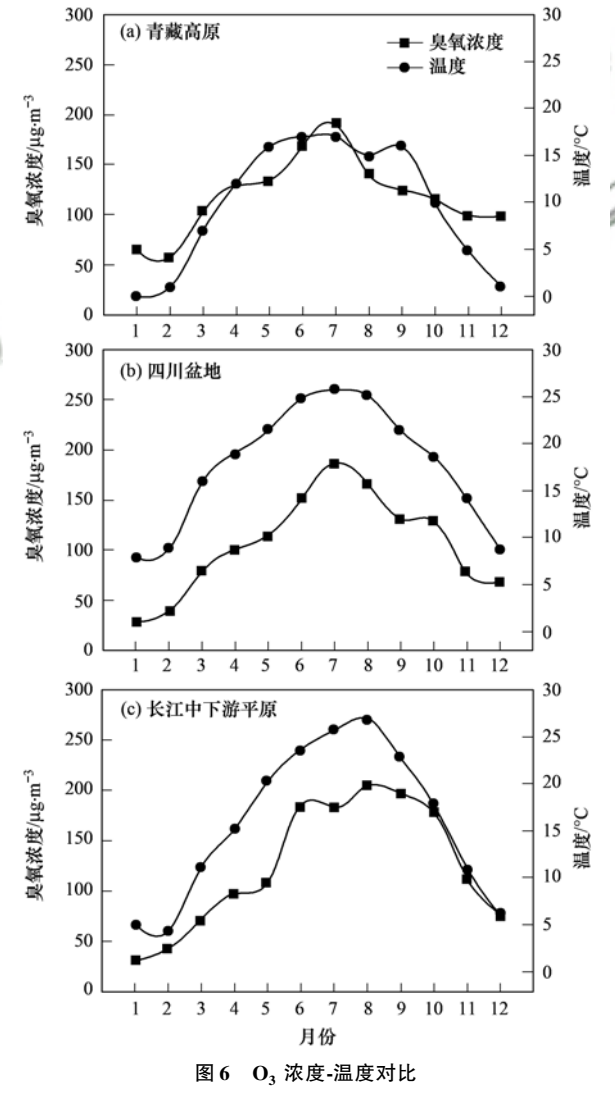


Fig. 6 Correlation between temperature and O3 concentrations

程为:y = 5.1229x + 69.385, 其相关系数(R^2)为 0.793 4;图 6(b)为四川盆地 O_3 浓度与温度的相关性对比,从中可知, O_3 和温度都在 7 月时达到最大值,其相关性方程为:y = 7.2077x - 21.13,其相关系数(R^2)为 0.913;图 6(c)为长江中下游平原 O_3 浓度与温度的相关性对比,从中可知, O_3 和温度都在 8 月时达到最大值,其相关性方程为:y = 7.0035 x + 13.008,其相关系数(R^2)为 0.844.以上分析可见,3 种地形条件下的 O_3 浓度值和温度都呈现出了很好的正相关关系.

 O_3 是在太阳辐射下通过光化学反应由一次污染物经过反应而生成的,而温度则是随着太阳辐射的增多而升高的,因 O_3 浓度和温度的年变化规律相似. 因此, O_3 浓度的变化和温度呈现出来的相关性为良好的正相关关系,也就是说,气温高能加快 O_3 的形成,导致 O_3 浓度升高. 由太阳短波紫外辐射引起的温度变化,在很大程度上直接影响着近地面层 O_3 浓度的改变^[34~36].

4 结论

- (1)2015 年全国 O₃ 的浓度随着时间呈先增加后减少的单峰变化,在1月O₃ 浓度最低,在7月达到最高值,整体变化呈单峰结构。因此,季节变化也非常明显,我国 O₃ 浓度的季节变化规律为:夏季 > 秋季 > 春季 > 冬季.
- (2)从全国各地区的 O_3 浓度变化情况来看,全国 O_3 浓度变化表现为华北地区,华东地区和华南地区 O_3 污染较为严重,而西北和西南地区的情况相对较好.
- (3) O_3 浓度和经纬度的变化关系为:不同的纬度对 O_3 浓度的变化趋势有很大的影响,且纬度越高, O_3 的单峰结构越明显,而不同的经度对 O_3 浓度的变化趋势的影响则不是很大.
- (4) O_3 浓度和地形的变化关系为:地形的变化和海拔高度的不同会对 O_3 浓度的变化产生一定的影响,但是影响并不是非常明显,和其他影响因子比起来可以忽略不计.
- (5) O_3 浓度和温度变化存在很好的正相关的关系, O_3 浓度会随着温度的升高而增加,随着温度的降低而减少.

参考文献:

- [1] Vingarzan R. A review of surface ozone background levels and trends[J]. Atmospheric Environment, 2004, 38 (21): 3431-
- [2] Xu X, Lin W, Wang T, et al. Long-term trend of surface ozone

- at a regional background station in eastern China 1991-2006; enhanced variability [J]. Atmospheric Chemistry and Physics Discussions, 2008, 8(10); 2595-2607.
- [3] Schipa I, Tanzarella A, Mangia C. Differences between weekend and weekday ozone levels over rural and urban sites in Southern Italy[J]. Environmental Monitoring and Assessment, 2009, 156 (1-4): 509-523.
- [4] Kannari A, Ohara T. Theoretical implication of reversals of the ozone weekend effect systematically observed in Japan [J]. Atmospheric Chemistry and Physics, 2010, 10 (14): 6765-6776.
- [5] Pulikesi M, Rayudu V N, Ramamurthi V, et al. Weekend-Weekday differences in near-surface ozone concentrations in Chennai, South India [J]. International Journal of Environment and Waste Management, 2009, 4(1-2): 213-224.
- [6] 姚青, 韩素芹, 蔡子颖, 等. 2012 年夏季天津城区 BTEX 污染特征与臭氧潜势分析[J]. 中国环境科学, 2013, **33**(5): 793-798.
 - Yao Q, Han S Q, Cai Z Y, et al. The diurnal variation and ozone production potential of BTEX in Tianjin in the summer of 2012[J]. China Environmental Science, 2013, 33(5): 793-798
- [7] 易容, 王亚林, 张殷俊, 等. 长江三角洲地区城市臭氧污染特征与影响因素分析[J]. 环境科学学报, 2015, **35**(8): 2370-2377.
 Yi R, Wang Y L, Zhang Y J, et al. Pollution characteristics and
 - influence factors of ozone in Yangtze River Delta [J]. Acta Scientiae Circumstantiae, 2015, 35(8): 2370-2377.
- [8] 邓雪娇, 周秀骥, 吴兑, 等. 珠江三角洲大气气溶胶对地面 臭氧变化的影响[J]. 中国科学: 地球科学, 2011, 41(1): 93-102.
 - Deng X J, Zhou X J, Wu D, et al. Effect of atmospheric aerosol on surface ozone variation over the Pearl River Delta region [J]. Science China Earth Sciences, 2011, 54(5): 744-752.
- [9] Zhang Y N, Xiang Y R, Chan L Y, et al. Procuring the regional urbanization and industrialization effect on ozone pollution in Pearl River Delta of Guangdong, China [J]. Atmospheric Environment, 2011, 45(28); 4898-4906.
- [10] 张立杰,张丽,李磊,等. 深圳大运会期间一次光化学污染事件成因分析[J]. 环境监控与预警,2013,5(2):10-14. Zhang L J, Zhang L, Li L, et al. Causes analysis of a photochemical pollution event during Shenzhen Universiade[J]. Environmental Monitoring and Forewarning, 2013, 5(2):10-14.
- [11] 马志强, 孟燕军, 林伟立. 气象条件对北京地区一次光化学烟雾与霾复合污染事件的影响[J]. 气象科技进展, 2013, 3 (2): 59-61.

 Ma Z Q, Meng Y J, Lin W L. Influence of meteorological factors on an episode of photochemical fog andhaze in Beijing [J]. Advances in Meteorological Science and Technology, 2013, 3
- [12] 沈利娟, 李莉, 吕升, 等. 2013 年夏季嘉兴市一次光化学事件的观测分析[J]. 环境科学, 2014, **35**(5): 1662-1670. Shen L J, Li L, Lv S, *et al.* Observation of a photochemical event in Jiaxing during summer 2013 [J]. Environmental Science, 2014, **35**(5): 1662-1670.

 $(2) \cdot 59-61.$

[13] 李浩,李莉,黄成,等. 2013年夏季典型光化学污染过程中长三角典型城市 03 来源识别[J]. 环境科学, 2015, **36**(1):

- 1-10
- Li H, Li L, Huang C, *et al.* Ozone source apportionment at urban area during a typical photochemical pollution episode in the summer of 2013 in the Yangtze River Delta [J]. Environmental Science, 2015, **36**(1): 1-10.
- [14] 洪盛茂, 焦荔, 何曦, 等. 杭州市区大气臭氧浓度变化及气象要素影响[J]. 应用气象学报, 2009, **20**(5): 602-611. Hong S M, Jiao L, He X, et al. The Variation of ozone concentrations in urban districts of Hangzhou and their relationship with meteorological factors[J]. Journal of Applied Meteorological Science, 2009, **20**(5): 602-611.
- [15] Affre C, Carrara A, Lefebre F, et al. Aircraft measurement of ozone turbulent flux in the atmospheric boundary layer [J]. Atmospheric Environment, 1999, 33(10); 1561-1574.
- [16] 唐孝炎, 张远航, 邵敏. 大气环境化学[M]. (第二版). 北京:高等教育出版社, 2006. 102-110.

 Tang X Y, Zhang Y H, Shao M. Atmospheric environmental chemistry (2nd ed.) [M]. Beijing: Higher Education Press, 2006. 102-110.
- [17] 环境保护部. 2015 年中国环境状况公报[R]. 2016.
- [18] 刘光孟, 汪云甲, 王允. 反距离权重插值因子对插值误差影响分析[J]. 中国科技论文, 2010, 5(11): 879-884.

 Liu G M, Wang Y J, Wang Y. Impact of inverse distance weighted interpolation factors on interpolation error [J]. Sciencepaper Online, 2010, 5(11): 879-884.
- [19] GB 3095-2012, 环境空气质量标准[S].
- [20] 彭丽,林云萍,周广强,等. 我国北方地区对流层中下层臭氧收支[J].应用气象学报,2009,20(6):665-672.

 Peng L, Lin Y P, Zhou G Q, et al. Ozone budget in the lower and middle troposphere over North China[J]. Journal of Applied Meteorological Science, 2009, 20(6):665-672.
- [21] 陶玉龙. 青藏高原地区大气臭氧时空变化及其温度响应研究 [D]. 长春: 吉林大学, 2010.
 Tao Y L. Study on spatio-temporal vairation of ozone above Tibetan Plateau and its effect on the temperatures [D].
- Changchun: Jilin University, 2010.
 [22] 王宇骏,黄新雨,裴成磊,等.广州市近地面臭氧时空变化及其生成对前体物的敏感性初步分析[J].安全与环境工
 - 程, 2016, 23(3): 83-88.

 Wang Y J, Huang X Y, Pei C L, et al. Spatial-temporal variations of ground-level ozone and preliminary analysis on the sensitivity of ozone formation to precursors in Guangzhou City [J]. Safety and Environmental Engineering, 2016, 23(3): 83-88
- [23] 刘姝岩. 重霾天气气溶胶辐射效应对近地面臭氧浓度的影响 [D]. 南京: 南京信息工程大学, 2016. Liu S Y. Impacts of aerosol radiation effect on surface ozone during heavy haze events [D]. Nanjing: Nanjing University of Information Science & Technology, 2016.
- [24] 乜虹, 牛生杰, 王治邦, 等. 青藏高原清洁地区近地面层臭氧的特征分析[J]. 干旱气象, 2004, **22**(1): 1-7.

 Nie H, Niu S J, Wang Z B, *et al.* Characteristic analysis of surface ozone over clean area in Qinghai-Xizang Plateau [J].

 Arid Meteorology, 2004, **22**(1): 1-7.
- [25] 周秀骥,李维亮.中国地区大气臭氧变化及其对气候环境的 影响[J].中国气象科学研究院年报,1997,(1):9-12.

[26] 安俊琳. 北京大气臭氧浓度变化特征及其形成机制研究 [D]. 南京: 南京信息工程大学, 2007.

An J L. Study on the variation characteristics of surface ozone concentrations and its production in Beijing [D]. Nanjing:

Nanjing University of Information Science & Technology, 2007.

- [27] 张勇, 陈良富, 柳钦火, 等. 日照时间的地形影响与空间尺度效应[J]. 遥感学报, 2005, **9**(5): 521-530.

 Zhang Y, Chen L F, Liu Q H, *et al.* Topographic and spatial-scaling effects on the sunlit time of the different terrains [J].

 Journal of Remote Sensing, 2005, **9**(5): 521-530.
- [28] 单文坡. 大气臭氧浓度变化规律及相关影响因素研究[D]. 济南: 山东大学, 2006. Shan W P. Study on the variation characteristics of surface ozone concentrations and their impact factors[D]. Ji'nan: Shandong University, 2006.
- [29] 中华人民共和国全图(1:10000000)(新编竖版)[M]. 北京: 中国地图出版社, 2013.
- [30] 天气网. 丹东历史天气资料[EB/OL]. http://lishi. tianqi. com/dandong/index. html.
- [31] 陈世俭, 童俊超, KobayashiK, 等. 气象因子对近地面层臭氧浓度的影响[J]. 华中师范大学学报(自然科学版), 2005, 39(2): 273-277.

 Chen S J, Tong J C, KobayashiK, et al. Influences of the meteorological factors on the ozone concentration near the ground [J]. Journal of Central China Normal University (Natural Sciences), 2005, 39(2): 273-277.
- [32] 张莹. 中国臭氧总量 30 a 时空变化以及近地面臭氧浓度气象要素影响研究[D]. 南京: 南京信息工程大学, 2014.

 Zhang Y. Variation of total ozone over China for 30 years and meteorological factors on ozone concentrations near the ground [D]. Nanjing: Nanjing University of Information Science & Technology, 2014.
- [33] 陈魁, 郭胜华, 董海燕, 等. 天津市臭氧浓度时空分布与变化特征研究[J]. 环境与可持续发展, 2010, **35**(1): 17-20. Chen K, Guo S H, Dong H Y, *et al.* Study on the space-time distribution and change characteristic of ozone concentration in Tianjin[J]. Environment and Sustainable Development, 2010, **35**(1): 17-20.
- [34] 叶芳, 安俊琳, 王跃思, 等. 北京近地层 O₃、NO_x、CO 及相关气象因子的分析[J]. 生态环境学报, 2008, **17**(4): 1425-1432. Ye F, An J L, Wang Y S, *et al.* Analysis of O₃, NO_x, CO and correlation meteorological factor at the ground layer in Beijing [J]. Ecology and Environment, 2008, **17**(4): 1425-1432.
- [35] 任丽红, 胡非, 王玮.北京夏季 O₃ 垂直分布与气象因子的相关研究[J]. 气候与环境研究, 2005, **10**(2):166-174. Ren L H, Hu F, Wang W. A study of correlations between O₃ concentration and meteorological factors in summer in Beijing [J]. Climatic and Environmental Research, 2005, **10**(2): 166-174.
- [36] 刘新春, 钟玉婷, 何清, 等. 塔克拉玛干沙漠腹地近地面臭氧浓度变化特征及影响因素分析[J]. 中国沙漠, 2013, 33 (2): 626-633.

 Liu X C, Zhong Y T, He Q, et al. The variation characteristics and influencing factors of surface ozone concentration in the

2013, 33(2): 626-633.

Taklimakan desert hinterland [J]. Journal of Desert Research,

HUANJING KEXUE

Environmental Science (monthly)

Vol. 38 No. 12 Dec. 15, 2017

CONTENTS

Regional Transport Matrix Study of PM _{2,5} in Jingjinji Region, 2015	
Effect of Atmospheric Haze Based on Multi-source Remote Sensing Data Considering the Size Effect of Landscape Sources and Sinks Space-Time Estimations and Mapping of PM _{2,5} Fine Particulates Based on Multi-source Data	
Exposure Level of Population and Economy in Zhejiang Province Considering the Background of PM _{2,5} in East China	
Aerosol Chemical Characteristics for Different Air Pollution Levels in North Suburban Nanjing	
Seasonal Variation of Carbon Fractions in PM _{2.5} in Heze	
Characteristics and Source Apportionment of Water-soluble Inorganic Ions in Road Dust PM _{2.5} in Selected Cities in Liaoning Province	
Characteristics of the Size Distribution of Water-soluble Ions During a Heavy Pollution Episode in the Winter in Tianjin	
Physico-chemical Characteristic Analysis of PM _{2.5} in the Highway Tunnel in the Plateau City of Kunming	
Characteristics Analysis of the Surface Ozone Concentration of China in 2015	
Effects of Different Precious Metal Loads of CDPF on Characteristics of VOCs Emissions from a Diesel Bus	
Influence of ENSO Events on the Hydrogen ($\delta^2 H$) and Oxygen ($\delta^{18} O$) Isotopic Values of Precipitation in Shanghai	
Deposition of Sulfur, Nitrogen and Mercury in Two Typical Forest Ecosystems in Southern China	
${\it Spatial and Temporal Variability of CO}_2 {\it Emissions from the Xin'anjiang Reservoir}$	
Evaluation of Temporal and Spatial Variation Characteristics of Nutrients in Surface Sediment in the Three Gorges Reservoir Area	
ZH	
Distribution of Different Mercury Species in the Waterbody at Sanmenxia Reservoir	
Identification of Nitrate Sources and Transformation Processes in Midstream Areas: A Case in the Taizi River Basin	
Characteristics of Nitrogen Variation and Its Response to Rainfall; A Case Study in Wuxi Port at Taihu Lake Basin	
Dynamics of the Water Quality in a Broad-leaf Evergreen Forest at Different Spatial Levels on Jinyun Mountain	
Method of Improving the Water Quality of Polluted Rivers Based on the MIKE11 Model	XIONG Hong-bin, CHEN Xue, ZHANG Si-si (5063)
Distribution Characteristics and Risk Analysis of Antibiotic in the Groundwater in Beijing	CHEN Wei-ping, PENG Cheng-wei, YANG Yang, et al. (5074)
Characteristics of Carbon and Nitrogen in the Downstream Columnar Sediment of Maozhou River, Shenzhen Lift	NG Jun-hong, ZHANG Yi-zhang, WANG Min-hao, et al. (5081)
Relative Importance of Factors Influencing Iron Release in Drinking Water Distribution Systems	LIU Ying, YU Ying, SHI Bao-you, et al. (5090)
Removal of High Concentration of Iron, Manganese and Ammonia Nitrogen from Low Temperature Groundwater Using Single Bio-filter	LI Dong, CAO Rui-hua, YANG Hang, et al. (5097)
Mechanism of Pre-ozonation Enhanced Coagulation on DON in the Secondary Effluent	
Base Activation of Peroxymonosulfate for the Degradation of Ciprofloxacin in Water	GE Yong-jian, CAI Xian-wei, LIN Han, et al. (5116)
MIL-88A@ MIP Activated Persulfate for Targeted Degradation of Dibutyl Phthalate	
Methane Cycle Anaerobic Membrane Bioreactor with Desulfurization for Treating High Sulfate Organic Wastewater at Normal Temperatu	
Simultaneous Recovery of Nutrients from Wastewater by Mesoporous MgO-loaded Natural Zeolital	
Phosphorus Removal Capacity of Domestic Wastewater Treated by a Modified CAST Process Under Different Operating Modes	
Realization of Shortcut Nitrification in the ABR-MBR Process Treating Domestic Wastewater	
Substrate Inhibition and Kinetic Characteristics of Marine Anaerobic Ammonium Oxidizing Bacteria Treating Saline Wastewater	
Effect of Free Ammonia on Ammonia Escape During an Ammonia Oxidation Process	
Water Quality and Diversity of Denitrifier Community Structure of Typical Scenic Water Bodies in Xi'an	
Start-up and Characteristics of the Microbial Community Structure of ANAMMOX	
Fast Start-up and Performance of the CANON Process Based on a SBAF Systemand Evolution Properties of Microorganisms	
Enrichment of Nitrospira in Activated Sludge and Kinetic Characterization	
Effect of pH Value on Autotrophic Denitrification Process of Zero Valent Iron Substrate	
Effect of Seeding Single/Mixed Sludge on Rapid Start-up of an ANAMMOX Reactor	
Comparison of Start-up and Stable Performance of Nitritation in Activated Sludge and Biofilm Processes in a SBR	
Long-term Impacts of TiO ₂ Nanoparticles on the Stability of an Anaerobic Granular Sludge Bioreactor	
Composition and Distribution of Antibiotics in Soils with Different Land Use Types in a Typical Peri-urban Area of the Yangtze River I	
Composition and Distribution of Antibodics in cons with Different Land Cost Types in a Typical Tetrahoan Area of the Talligue Tutter I	····· 7HAO Fang-kai CHEN Li-ding VANC Lei et al. (5237)
Distribution of Phosphorus in Soil Profiles after Continuous Application of Different Fertilizers	
Occurrence of Organophosphate Esters in Soils of the Three Gorges Reservoir	
Pollution Characteristics, Source Analysis and Potential Ecological Risk Assessment of Heavy Metals in Soils Surrounding a Municipal	
Tomunon Characteristics, Source Analysis and Totendar Ecological fusik Assessment of Heavy metals in Sons Surrounding a municipal	CUO Ven bei SUN Vu chee 7HANC Shi bing et al. (5262)
Comparison of Characteristics and Source Apportionment of Polycyclic Aromatic Hydrocarbons in Different Environmental Media in the	
Comparison of Characteristics and Source Apportionment of Fotycychic Afoniatic Hydrocarbons in Different Environmental media in the	
Magnetic Response of Heavy Metal Pollution in Playground Dust of an Industrial Area	
Distribution Characteristics and Health Risk for Heavy Metals in Vegetables Near the Industrial Areas in Shanghai	•
Impacts of Silicon Fertilizer as Base Manure on Cadmium Bioavailability in Soil and on Cadmium Accumulation in Rice Plants	
Uptake and Volatilization of Gaseous Elemental Mercury by Paddy Rice	
Long Term Variations of Ozone Concentration of in a Winter Wheat Field and Its Loss Estimate Based on Dry Matter and Yield	
Control Effect of Side Deep Fertilization with Slow-release Fertilizer on Ammonia Volatilization from Paddy Fields	
Effects of Biochar and Organic Fertilizer on Saline-alkali Soil N ₂ O Emission in the North China Plain	
Flux Characteristics of CO ₂ , CH ₄ , and N ₂ O and their Influencing Factors in Different Types of Ditches on the Chengdu Plain Fl	
Review of ${\rm CO}_2$ and ${\rm CH}_4$ Emissions from Rivers	ANG Alao-teng, YUAN Aing-zhong, CHEN Huai, et al. (5352)